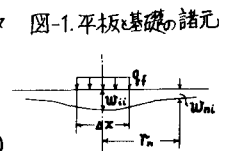
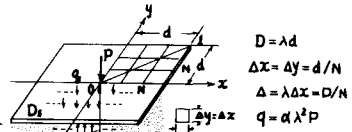


明石高専 正員 高端 宏直
近畿大学 正員 谷 平 魁
中部工大 正員 倉 田 泰章

1) まえがき……板の差分化した式と Boussinesq の理論式を結合して弾性体上の板の近似解¹⁾を既に求めたが、今回はそれらをもとにして LEE の対応原理²⁾を用いて粘弾性体の場合の近似解析を試みた。

2) 解式の説明 ……始めに弾性体の場合の解を列挙する。図-1は弾性体と板の諸元を示す。荷重は鉛直の集中荷重 P と等分布荷重 q_f を考える。板の差分式は、 $D_s/\Delta x^4 \cdot [K]\{w\} = \{q_f\} - \{q_{f,i}\}$ ---(1) で表わされる。(D_s :板間隔, $[K]$:差分法の係数マトリックス) 地盤反力 $q_{f,i}$ と弾性体表面の変位との関係(図-2)は $w_{ni} = q_f \cdot \Delta x^2 / D_s \cdot f_{ni}$ ---(2) である。ここで $f_{ni} = 3.525$, $f_{ni} = 1/r_n$, $D_s = \pi E_0 / (1 - \nu_0^2)$ とする。 (E_0, ν_0) は弾性体の弾性係数, ρ は密度, r_n は半径である。(2)式をマトリックス表示すると、 $\{w_i\} = \frac{\Delta x}{D_s} \{f_i\} \{q_f\}$ または $\{q_f\} = \frac{D_s}{\Delta x} [K_f] \{w_i\}$ ---(3) となる。 $[K_f]$, $[f_i]$ は基礎の剛性マトリックスと柔軟マトリックスで, $[K_f] = [f_i]^{-1}$ の関係 K ある。



次に(1), (2)式より板のたわみ w は次式より求められる。

$$([K] + \delta_0 [K_f]) \{w\} = \frac{P}{D_s \lambda^2} (\alpha \delta_0^{4/3} + \beta \delta_0^{2/3}) --- (4) \quad (\lambda^3 = D_s / D, \alpha = q_f / P \lambda^2, \beta = r_0, \delta_0 \text{ は荷重係数})$$

地盤内の鉛直応力度 σ_z は、(図-3) $\{\sigma_z\} = \frac{3\Delta x}{2\pi} \{q_f\} \cdot \{r\}$ ---(5) で表わされ、 $\{r\}$ は $\sqrt[3]{(x_j^2 + y_j^2 + z_j^2)}^{5/2}$ を要素とするベクトルである。

a) Kelvin model …… G をせん断弾性係数、 K を体積弾性係数、 P, Q, P', Q' を微分演算子。

D を $(\partial/\partial t)$, A, B, C を粘弾性材料の係数とし、粘弾性法則により、 $Q(p)/P(p) = 2G = AD + B$, $Q'(p)/P'(p) = 3K = C - \delta$ である。これを用いて、 $(1 - \nu_0^2)/E_0 = (3K + 4G)/2B$, $(6K + 2G) = [Q(p)/P(p) + 2Q'(p)/P'(p)] / Q(p) = (2Q(p)/P'(p) + Q(p)/P(p))$ ---(6) と变形し、(2)式は、 $w_f^* = \frac{\Delta x^2}{\pi} \cdot q_f(t) \cdot \left\{ 2B + C/B(B+2C) \cdot \frac{1}{p} - A/B \cdot \frac{1}{Ap+B} - 3A/2(B+2C) \cdot \frac{1}{Ap+B+2C} \cdot \frac{1}{r_n} \right\}$ ---(7) となり、力を変数として Laplace 変換すれば、粘弾性体の場合の解をうる。

$$w_f = \frac{\Delta x^2}{\pi} q_f(t) \cdot \left\{ 1 - \frac{B+2C}{2(B+C)} \exp(-\frac{B}{A}t) - \frac{3B}{2(B+C)} \exp(-\frac{B+2C}{A}t) \right\} \cdot \frac{1}{r_n} --- (8)$$

本式の $q_f(t)$ は一定であるが、本問題では time dependent であるため、たのみこみ積分を用ひる。また問題を簡単にするため $C = 0$ として非圧縮性粘弾性体とすると、 $w_f = \frac{2\Delta x^2}{\pi} \left\{ \int_0^t \exp(-\frac{B}{A}\tau) \cdot H(\tau) \cdot q_f(t-\tau) d\tau \right\} \cdot \frac{1}{r_n}$ --- (9) となる。数値計算を行なうために時間さざみ幅を $\frac{B}{A} \Delta t = \Delta T$, $\frac{B}{A} t = T$, $t = n \Delta t$ とおく。

$$\{w_f\} = \frac{2\Delta x}{\pi B} \cdot \left\{ F(t) + \{q_f\} \Delta T \right\} \cdot \{f_i\}, \quad \{q_f\} = \frac{\pi CB}{2\Delta x \Delta T} [K_f] \cdot \{w_i\} - \frac{1}{\Delta T} \{F(t)\} --- (10)$$

ここで $F(t) = \sum_{n=1}^{\infty} \exp((i-n) \Delta T) \cdot q_f(i \Delta T) \Delta T$ である。そこで(1)と(10)式から板のたわみ式は次式となる。

$$([K] + \frac{\delta_0}{\Delta T} [K_f]) \{w\} = \frac{P}{D_s \lambda^2} \{d \delta_0^{4/3} + \beta \delta_0^{2/3}\} + \frac{1}{\Delta T} \cdot \frac{\Delta x^4}{D_s} \{F(t)\} --- (11)$$

ここで、 $\lambda^3 = \pi B / 2D_s$, $\lambda \Delta x = \Delta$, $\Delta^3 = \delta_0$ である。初期条件は $\{w\}_{t=0, n=0} = 0$ とし、時間を ΔT づつ増加させ、逐次演算を繰返していく。

b) Maxwell model ……前節の(6), (8)式と相当する式は、 $Q(p)/P(p) = D/AD + B = 2G$, $Q'(p)/P'(p) = C = 3K$ --- (12)

$$w_f^* = \frac{\Delta x^2 q_f(t)}{\pi p} \cdot \left[\frac{A(AC+2)}{(2AC+1)p+2BC} + \frac{2B(AC+1)}{p(2AC+1)p+2BC} + \frac{B^2 C}{p^2 (2AC+1)p+2BC} \right] --- (13) \quad \text{である。}$$

この場合も $C = 0$ として、Laplace 変換をして、たのみこみ積分をすれば

$$w_f = \frac{2\Delta x^2}{\pi} \left\{ q_f(t) \cdot A + B \int_0^t q_f(\tau) d\tau \right\} \cdot \frac{1}{r_n} --- (14) \quad \text{となり、(11), (12) と相当する式は次のようになる。}$$

$$\{w_f\} = \frac{2\Delta x \Delta T}{\pi} \left\{ \{q_f\} + \frac{1}{\Delta T} \{q_f, n-1\} + \{\bar{F}(T)\} \right\} \cdot \{f_i\}, \quad \{q_f\} = \frac{\pi}{2A\Delta x \Delta T} [K_f] \cdot \{w_i\} - \frac{1}{\Delta T} \{q_f, n-1\} - \{\bar{F}(t)\} --- (15)$$

$$([K] + \frac{\delta_0}{\Delta T} [K_f]) \cdot \{w\} = \frac{P}{D_s \lambda^2} \{d \delta_0^{4/3} + \beta \delta_0^{2/3}\} + \frac{\Delta x^4}{D_s} \{\bar{F}(t)\} --- (16)$$

ここで、 $\bar{F}(T) = \sum_i q_f(i \Delta T)$, $\lambda^3 = \frac{\pi}{2D_s A}$, $\lambda \Delta x = \Delta$, $\Delta^3 = \delta_0$ である。

3) 數値計算

結果.....

中央点集中荷

重と全面等分

布荷重載荷の

場合Kについて

計算した。

図-(4)は中央

点のたわみ、

地盤反力、曲

げモーメント

と時間との関

係を示した。

図-5は板の

対角線上のた

わみと時間変

化で示した。

図-6は半無限

体内の鉛直応

力度すなわち

地盤応力度の

分布を時間経過

と共に描いた。

Kelvin modelの

T=∞とMaxwell

のT=0は一致す

るものと考えら

れ Maxwell aT=

0の場合をあけ

た。いずれも、

荷重と基礎モ

デルの特色がよく現わ

れている。

4) あとがき...以上

差分法とBoussinesq

理論との結合をと

りて諸種の近似値を示したが、時間方向の積分の精度の問題や

時間さくみ幅の選定に検討の余地がある。以上

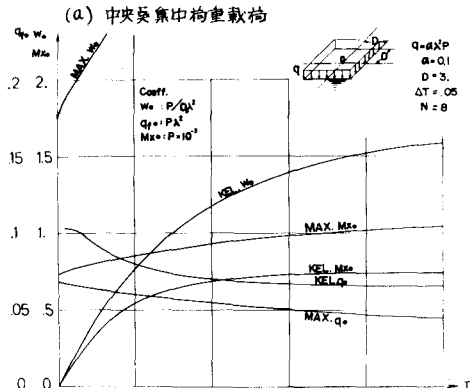
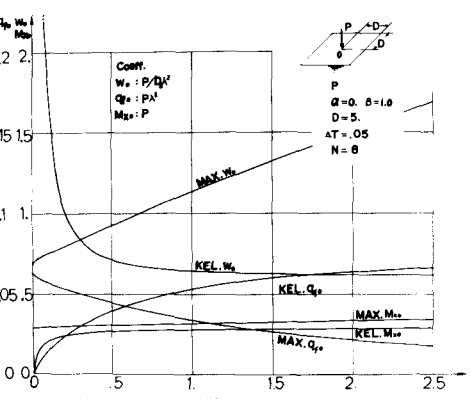
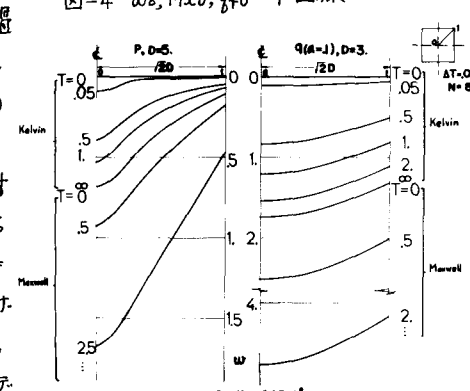


図-4 w_0, M_{00}, q_{f0} - T 曲線



(a) 集中荷重 (b) 等分布荷重

図-5 板のたわみの時間的変化

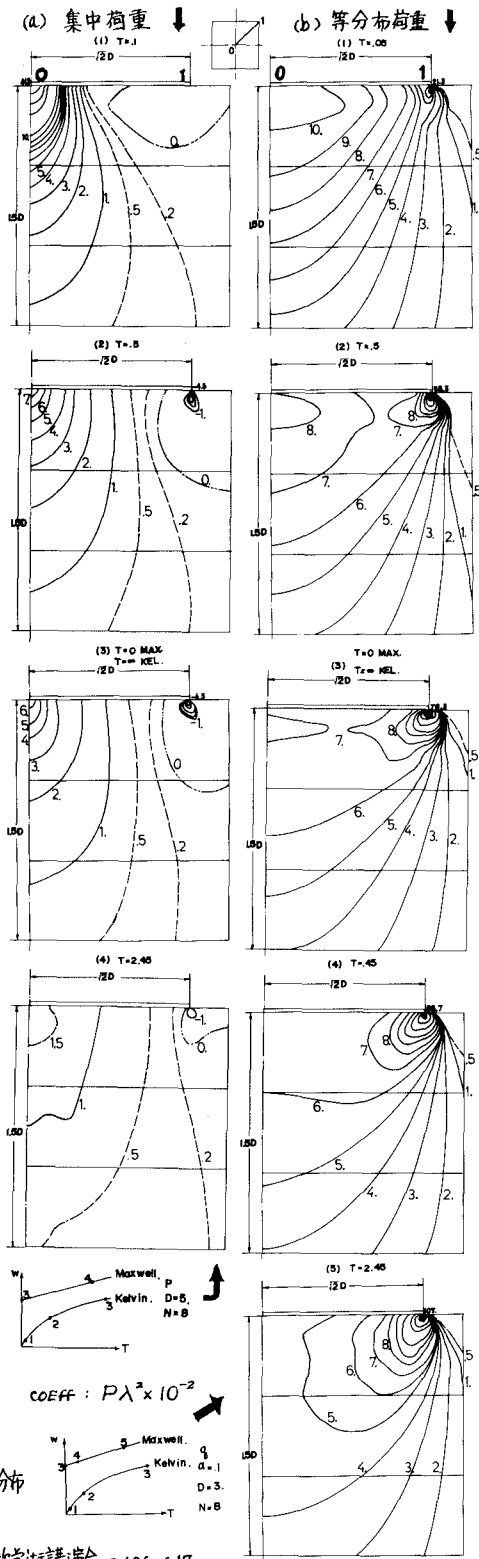


図-6 地盤内鉛直応力度分布の時間的変化

参考文献

1) 乾田高橋, 岩平: 3次元弾性体上の平板の曲げについて, 第27回土木学会年次学術講演会, I-126, 547

2) E.H. LEE: Stress Analysis in Visco-Elastic Bodies, Quarterly of Applied Mathematics, Vol. XIII, No. 2, 1955.